

МАТЕМАТИЧЕСКОЕ МОДЕЛИРОВАНИЕ ТУРБУЛЕНТНОГО ТЕЧЕНИЯ ЖИДКОСТИ В КОЛЬЦЕВОМ КОНФУЗОРЕ ПОД ДЕЙСТВИЕМ ПЕРЕПАДА ДАВЛЕНИЯ

И. В. Ерофеев¹, Е. Н. Коржов¹, А. И. Шашкин¹, А. В. Иванов², М. В. Добросоцкая¹

¹Воронежский государственный университет

²ОАО КБ Химавтоматики

Поступила в редакцию 15.09.2010 г.

Аннотация. Предложена математическая модель для исследования движения вязкой жидкости между цилиндрической и сужающейся с малым углом конической поверхностями. Задача о турбулентном течении в кольцевом конфузоре численно решена для различных геометрических параметров системы. Результаты компьютерного эксперимента сопоставлены с имеющимися экспериментальными данными.

Ключевые слова: Кольцевой конфузор, математическое моделирование, турбулентное течение.

Abstract. A mathematical model for the investigation of turbulent movement for viscous liquid between cylindrical and narrowed down with a small angle conic surfaces is offered. Numerically the problem on a turbulent flow for various geometrical parameters is solved. Outcomes of theoretical computer experiments with known experimental data are compared and analysed.

Keywords: annular confuser, mathematical modelling, turbulent flow.

В процессе совершенствования различных устройств воздушно-реактивной и ракетно-космической техники возникает необходимость в разработке определенных методов для поиска способов управления свойствами внутренних течений. Несомненно, практические исследования являются эффективным способом нахождения нужного результата, однако это довольно затратные мероприятия, требующие значительных финансовых вложений, а также длительных временных затрат на проведение довольно большого числа испытаний. В связи с этим существует потребность в математическом моделировании турбулентных течений, которое позволит сократить время проведения испытаний и свести к минимуму материальные затраты на проектируемые изделия опытно-конструкторских разработок [1].*

Целью данной работы является изучение основных закономерностей и особенностей турбулентного течения в кольцевом конфузоре, образованном цилиндрической и конической поверхностями при помощи математического моделирования. Для проверки адекватности теоретических результатов, полученных в ходе компьютерного эксперимента, выполняется

сопоставление с имеющимися экспериментальными данными.

В настоящей работе получены и обсуждаются результаты исследования турбулентных течений между цилиндром и сходящимся конусом (конфузор), происходящих под действием приложенного постоянного перепада давления (рис. 1).

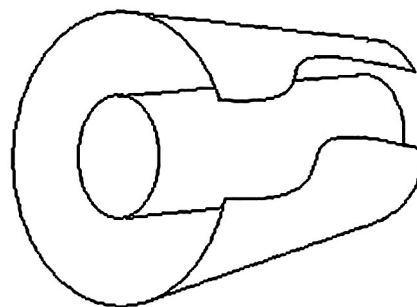


Рис. 1. Конфигурация канала с разрезом поверхности конуса

Рассмотрение ограничивается квазистационарным режимом турбулентного течения, когда цилиндр и конус являются соосными. Движение жидких и газообразных сред в канале, образованном соосными поверхностями

© Ерофеев И. В., Коржов Е. Н., Шашкин А. И., Иванов А. В., Добросоцкая М. В., 2011

цилиндра и конуса, представляет собой нетрадиционную гидродинамическую систему с кольцевым зазором переменного сечения.

Течения в каналах под действием перепада давления при турбулентном режиме могут описываться с помощью различных моделей турбулентности [2—4]. К числу наиболее универсальных относится, так называемая, стандартная $k-\varepsilon$ модель турбулентности, входящая в математическое обеспечение практически всех известных программных комплексов вычислительной гидродинамики [9].

В основе большинства описаний турбулентного потока лежат представления Рейнольдса о том, что вектор скорости и давление в турбулизованной среде можно представить в виде суммы двух соответствующих величин — осредненной по времени и пульсационной составляющей

$$\mathbf{u} = \mathbf{v} + \mathbf{v}', p = \bar{p} + p', \quad (1)$$

где \mathbf{u} , p — вектор скорости и давление в турбулизованной среде, а \mathbf{v} , \bar{p} — их осредненные по времени величины

$$\mathbf{v}(X, t) = \frac{1}{T} \int_{t-\frac{T}{2}}^{t+\frac{T}{2}} \mathbf{u}(X, \tau) d\tau, \quad (2)$$

$$\bar{p}(X, t) = \frac{1}{T} \int_{t-\frac{T}{2}}^{t+\frac{T}{2}} p(X, \tau) d\tau,$$

где T — постоянный период осреднения; $X = \{x_1, x_2, x_3\}$ — совокупность пространственных координат; \mathbf{v}' , p' — пульсационные составляющие скорости и давления в турбулентном потоке.

С учетом выражений (1)-(2) уравнения, описывающие поведение изотермического турбулентного потока, в общем случае движения однородной среды могут быть представлены следующей системой уравнений, называемой стандартной $k-\varepsilon$ моделью турбулентности [2—5]:

$$\frac{\partial \rho}{\partial t} + \nabla \cdot (\rho \mathbf{v}) = 0, \quad (3)$$

$$\frac{\partial \rho \mathbf{v}}{\partial t} + \nabla \cdot (\rho \mathbf{v} \mathbf{v}) = \nabla \cdot \mathbf{P} + \rho \mathbf{F}, \quad (4)$$

$$\frac{\partial \rho k}{\partial t} + \nabla \cdot (\rho k \mathbf{v}) = \nabla \cdot \left(\frac{\mu_{eff}}{\sigma_k} \nabla k \right) + G - \rho \varepsilon, \quad (5)$$

$$\frac{\partial \rho \varepsilon}{\partial t} + \nabla \cdot (\rho \varepsilon \mathbf{v}) = \nabla \cdot \left(\frac{\mu_{eff}}{\sigma_\varepsilon} \nabla \varepsilon \right) + \frac{\varepsilon}{k} (C_1 G - C_2 \rho \varepsilon). \quad (6)$$

Здесь

$$\mathbf{P} = -p\mathbf{I} + \lambda \operatorname{div} \mathbf{v} + 2\mu_{eff} \mathbf{E} \quad (7)$$

— тензор полных напряжений турбулентного потока; ρ — плотность среды; \mathbf{F} — вектор плотности массовых сил; $k = \frac{1}{2} \overline{v'_i v'_i}$ — кинетическая энергия турбулентных пульсаций единицы массы среды (здесь и далее по повторяющимся индексам выполняется суммирование);

$\varepsilon = \overline{\mathbf{v} \cdot \left(\frac{\partial v'_i}{\partial x_i} \right)^2}$ — скорость диссипации кинетической энергии турбулентных пульсаций; \mathbf{I} — единичный тензор; p — давление; μ — коэффициент «молекулярной вязкости» турбулизованной среды; \mathbf{E} — тензор скоростей деформаций, вычисленный через осредненные компоненты вектора скорости \mathbf{v} ; μ_{eff} — эффективный коэффициент турбулентной вязкости, который представляется следующим образом

$$\mu_{eff} = \mu + \mu_t, \quad (8)$$

где μ_t — коэффициент турбулентной вязкости или «молярная» вязкость турбулентного потока, определяется в соответствии с формулой Прандтля—Колмогорова [3]

$$\mu_t = C_\mu \rho \frac{k^2}{\varepsilon}; \quad (9)$$

G — диссипативная функция турбулентного потока, которая записывается через обычные сдвиговые компоненты тензора напряжений \mathbf{P} и вектор осредненной скорости \mathbf{v}

$$G = \mathbf{P} \cdot (\nabla \mathbf{v}); \quad (10)$$

$$C_1 = 1.44, C_2 = 1.92, \sigma_k = 1.0, \sigma_\varepsilon = 1.3, C_\mu = 0.09 \quad (11)$$

— численные значения параметров $k-\varepsilon$ модели, которые вычисляются на основе сопоставления расчетов с результатами эксперимента, то есть эмпирически.

Замыкание системы уравнений (3)—(6) осуществляется заданием соответствующего уравнения состояния, связывающего неизвестные функции — давление и плотность турбулизованной среды.

Предполагая, что плотностью массовых сил можно пренебречь и течение носит осесимметричный характер, можно записать уравнения квазистационарного турбулентного потока в цилиндрической системе координат

$$\frac{1}{r} \frac{\partial}{\partial r}(r\rho u) + \frac{\partial}{\partial z}(\rho w) = 0, \quad (12)$$

$$\begin{aligned} & \frac{1}{r} \frac{\partial}{\partial r}(\rho r u^2) + \frac{\partial}{\partial z}(\rho u w) = \\ & = -\frac{\partial p}{\partial r} + \frac{2}{r} \frac{\partial}{\partial r} \left(\mu_{\text{eff}} r \frac{\partial u}{\partial r} \right) - 2\mu_{\text{eff}} \frac{u}{r^2} + \\ & + \frac{\partial}{\partial z} \left[\mu_{\text{eff}} \left(\frac{\partial w}{\partial r} + \frac{\partial u}{\partial z} \right) \right], \end{aligned} \quad (13)$$

$$\begin{aligned} & \frac{1}{r} \frac{\partial}{\partial r}(\rho r u w) + \frac{\partial}{\partial z}(\rho w^2) = \\ & = -\frac{\partial p}{\partial z} + \frac{1}{r} \frac{\partial}{\partial r} \left[\mu_{\text{eff}} r \left(\frac{\partial w}{\partial r} + \frac{\partial u}{\partial z} \right) \right] + \\ & + 2 \frac{\partial}{\partial z} \left(\mu_{\text{eff}} \frac{\partial w}{\partial z} \right), \end{aligned} \quad (14)$$

$$\begin{aligned} & \frac{1}{r} \frac{\partial}{\partial r}(\rho r u k) + \frac{\partial}{\partial z}(\rho w k) = \\ & = \frac{1}{r} \frac{\partial}{\partial r} \left(r \frac{\mu_{\text{eff}}}{\sigma_k} \frac{\partial k}{\partial r} \right) + \frac{\partial}{\partial z} \left(\frac{\mu_{\text{eff}}}{\sigma_k} \frac{\partial k}{\partial z} \right) + G - \rho \varepsilon, \end{aligned} \quad (15)$$

$$\begin{aligned} & \frac{1}{r} \frac{\partial}{\partial r}(\rho r u \varepsilon) + \frac{\partial}{\partial z}(\rho w \varepsilon) = \\ & = \frac{1}{r} \frac{\partial}{\partial r} \left(r \frac{\mu_{\text{eff}}}{\sigma_\varepsilon} \frac{\partial \varepsilon}{\partial r} \right) + \frac{\partial}{\partial z} \left(\frac{\mu_{\text{eff}}}{\sigma_\varepsilon} \frac{\partial \varepsilon}{\partial z} \right) + \\ & + \frac{\varepsilon}{k} (C_1 G - C_2 \rho \varepsilon), \end{aligned} \quad (16)$$

где

$$G = 2\mu_t \left[\left(\frac{\partial u}{\partial r} \right)^2 + \left(\frac{u}{r} \right)^2 + \left(\frac{\partial w}{\partial z} \right)^2 + \frac{1}{2} \left(\frac{\partial u}{\partial z} + \frac{\partial w}{\partial r} \right)^2 \right];$$

r, z — координаты цилиндрической системы отсчета, начало которой находится на общей оси цилиндра и конуса и направление её z — оси совпадает с направлением движения жидкости; v_r, v_z — радиальная и осевая составляющие её вектора скорости.

Граничные условия:

— на цилиндрической поверхности $r = r_1$ и поверхности конуса $r = r_2 - z \operatorname{tg} \alpha$ (r_2 — радиус входного отверстия) обе компоненты вектора скорости, кинетическая энергия турбулентных пульсаций и скорость её диссипации обращаются в ноль в силу условия прилипания на неподвижной твердой поверхности [11]:

$$r = r_1, z \geq 0: v_r(r_1, z) = 0, v_z(r_1, z) = 0, \quad (17)$$

$$k(r_1, z) = 0, \varepsilon(r_1, z) = 0;$$

$$r = r_2 - z \operatorname{tg} \alpha, z \geq 0: v_r(r_2 - z \operatorname{tg} \alpha, z) = 0,$$

$$v_z(r_2 - z \operatorname{tg} \alpha, z) = 0, k(r_2 - z \operatorname{tg} \alpha, z) = 0, \quad (18)$$

$$\varepsilon(r_2 - z \operatorname{tg} \alpha, z) = 0;$$

— на входе в канал задаются однородное распределение скорости, для кинетической энергии турбулентных пульсаций и скорости её диссипации условие интенсивности пульсационных составляющих, соответствующей 10 %

$$z = 0, r_1 \leq r \leq r_2: v_r(r, 0) = 0, v_z(r, 0) = v_z^0, \quad (19)$$

$$k(r, 0) = k^0, \varepsilon(r, 0) = \varepsilon^0,$$

где величины k^0 и ε^0 определяются при заданной интенсивности турбулентности потока I и длины пути перемешивания l_n Прандтля в соответствии с выражениями [5]

$$k^0 = \frac{3}{2} (\mathbf{v}I)^2, \varepsilon^0 = C_\mu^{\frac{3}{4}} \frac{k^{0\frac{3}{2}}}{l_n}; \quad (20)$$

— на выходе из канала зададим распределение давления, соответствующее постоянной величине, равное давлению в окружающей среде, а также условие сохранения массы, входящей и выходящей из канала жидкости

$$z = l, r_1 \leq r \leq r_2: p(r, l) = p_0,$$

$$\rho \int_{r_1}^{r_2 - l \operatorname{tg} \alpha} v_z(r, l) dr = Q. \quad (21)$$

Введем в рассмотрение характерные величины для зависимых и независимых переменных следующим образом:

$r_2 - r_1$ — величина зазора между цилиндром и конусом на входе в канал, являющаяся масштабом для радиальной координаты; l — длина канала, являющаяся масштабом для осевой координаты; \bar{v}_z — средняя скорость течения вдоль оси канала, определяемая через заданную величину массового расхода и площадь зазора между поверхностями, образующими этот канал, на входе в него

$$\bar{v}_z = \frac{Q}{\pi \rho_0 (r_2^2 - r_1^2)};$$

$\rho_0 \bar{v}_z^2$ — величина гидродинамического напора в канале, используемая в качестве характерной величины для давления; k^0 — кинетическая энергия турбулентных пульсаций на входе в канал; ε^0 — скорость диссипации кинетической

энергии турбулентных пульсаций на входе в канал.

Тогда приведение переменных к безразмерному виду можно осуществить согласно преобразованиям

$$R = \frac{r - r_1}{r_2 - r_1}, Z = \frac{z}{l}, V_R = \frac{v_r}{v_*}, V_Z = \frac{v_z}{\bar{v}_z}, \quad (22)$$

$$P = \frac{p}{\rho_0 \bar{v}_z^2}, K = \frac{k}{k^0}, E = \frac{\varepsilon}{\varepsilon^0},$$

где v_* определяется исходя из уравнения неразрывности (3)

$$v_* = \frac{(r_2 - r_1) \bar{v}_z}{l}.$$

После подстановки (22) в уравнения (12)—(16) и граничные условия (17)—(21) получаем краевую задачу следующего вида:

$$\frac{\partial V_R}{\partial R} + \frac{V_R}{R + \frac{\eta}{1 - \eta}} + \frac{\partial V_Z}{\partial Z} = 0, \quad (23)$$

$$\frac{1}{R + \frac{\eta}{1 - \eta}} \frac{\partial}{\partial R} (R V_R) + \frac{\partial}{\partial Z} (V_R V_Z) = -\frac{1}{\delta^2} \frac{\partial P}{\partial R} + \frac{1}{\delta} \left(\frac{2}{R + \frac{\eta}{1 - \eta}} \frac{\partial}{\partial R} \left[\frac{R + \frac{\eta}{1 - \eta}}{\text{Re}} (1 + C_\mu U \frac{K^2}{E}) \frac{\partial V_R}{\partial R} \right] - \frac{2(1 + C_\mu U \frac{K^2}{E}) V_R}{\text{Re} R^2} + \frac{\partial}{\partial Z} \left[\frac{(1 + C_\mu U \frac{K^2}{E})}{\text{Re}} \left(\frac{\partial V_Z}{\partial R} + \delta^2 \frac{\partial V_R}{\partial Z} \right) \right] \right), \quad (24)$$

$$\frac{1}{R + \frac{\eta}{1 - \eta}} \frac{\partial}{\partial R} \left((R + \frac{\eta}{1 - \eta}) V_R V_Z \right) + \frac{\partial}{\partial Z} (V_Z) = -\frac{\partial P}{\partial Z} + \frac{1}{(R + \frac{\eta}{1 - \eta}) \delta} \frac{\partial}{\partial R} \left[\frac{R + \frac{\eta}{1 - \eta}}{\text{Re}} (1 + C_\mu U \frac{K^2}{E}) \left(\frac{\partial V_Z}{\partial R} + \delta^2 \frac{\partial V_R}{\partial Z} \right) \right] + 2\delta \frac{\partial}{\partial Z} \left(\frac{(1 + C_\mu U \frac{K^2}{E})}{\text{Re}} \frac{\partial V_Z}{\partial Z} \right), \quad (25)$$

$$\frac{1}{R + \frac{\eta}{1 - \eta}} \frac{\partial}{\partial R} \left((R + \frac{\eta}{1 - \eta}) V_R K \right) + \frac{\partial}{\partial Z} (V_Z K) = \frac{1}{\sigma_k \delta (R + \frac{\eta}{1 - \eta})} \frac{\partial}{\partial R} \left((R + \frac{\eta}{1 - \eta}) \frac{(1 + C_\mu U \frac{K^2}{E})}{\text{Re}} \frac{\partial K}{\partial R} \right) + \frac{\delta}{\sigma_k} \frac{\partial}{\partial Z} \left(\frac{(1 + C_\mu U \frac{K^2}{E})}{\text{Re}} \frac{\partial K}{\partial Z} \right) + \quad (26)$$

$$+ 2C_\mu \text{H} \frac{K^2}{E} \left[\left(\frac{\partial V_R}{\partial R} \right)^2 + \left(\frac{V_R}{R + \frac{\eta}{1 - \eta}} \right)^2 + \left(\frac{\partial V_Z}{\partial Z} \right)^2 + \frac{1}{2} \left(\delta \frac{\partial V_R}{\partial Z} + \frac{1}{\delta} \frac{\partial V_Z}{\partial R} \right)^2 \right] - \frac{E}{\text{H}},$$

$$\begin{aligned} & \frac{1}{R + \frac{\eta}{(1-\eta)}} \frac{\partial}{\partial R} \left(\left(R + \frac{\eta}{(1-\eta)} \right) V_R E \right) + \frac{\partial}{\partial Z} (V_Z E) = \\ & = \frac{1}{\sigma_\varepsilon \delta \left(R + \frac{\eta}{(1-\eta)} \right)} \frac{\partial}{\partial R} \left(\left(R + \frac{\eta}{(1-\eta)} \right) \frac{(1 + C_\mu U \frac{K^2}{E})}{\text{Re}} \frac{\partial E}{\partial R} \right) + \frac{\delta}{\sigma_\varepsilon} \frac{\partial}{\partial Z} \left(\frac{(1 + C_\mu U \frac{K^2}{E})}{\text{Re}} \frac{\partial E}{\partial z} \right) + \\ & + 2C_\mu C_1 HK \left[\left(\frac{\partial V_R}{\partial R} \right)^2 + \left(\frac{V_R}{R + \frac{\eta}{(1-\eta)}} \right)^2 + \left(\frac{\partial V_Z}{\partial Z} \right)^2 + \frac{1}{2} \left(\delta \frac{\partial V_R}{\partial Z} + \frac{1}{\delta} \frac{\partial V_Z}{\partial R} \right)^2 \right] - C_2 \frac{1}{H} \frac{E^2}{K}, \end{aligned} \quad (27)$$

где введены безразмерные параметры модели

$$\begin{aligned} \delta &= \frac{r_2 - r_1}{l}, \eta = \frac{r_1}{r_2}, \text{Re} = \frac{\bar{v}_z (r_2 - r_1)}{\nu}, \\ H &= \frac{k^0 \bar{v}_z}{\varepsilon^0 l}, U = \frac{k^{02}}{\nu \varepsilon^0}. \end{aligned} \quad (28)$$

Граничные условия в безразмерном виде запишутся следующим образом

$$R = 0: \quad V_R(0, Z) = V_Z(0, Z) = K(0, Z) = E(0, Z) = 0; \quad (29)$$

$$\begin{aligned} R = 1 - \frac{1}{\delta} Z \text{tg } \alpha: \quad V_R \left(1 - \frac{Z}{\delta} \text{tg } \alpha, Z \right) = \\ = V_Z \left(1 - \frac{Z}{\delta} \text{tg } \alpha, Z \right) = 0; \end{aligned}$$

$$K \left(1 - \frac{Z}{\delta} \text{tg } \alpha, Z \right) = E \left(1 - \frac{Z}{\delta} \text{tg } \alpha, Z \right) = 0; \quad (30)$$

$$Z = 0: \quad V_R(R, 0) = 0, V_Z(R, 0) = K(R, 0) = E(R, 0) = 1; \quad (31)$$

$$\begin{aligned} Z = 1: \quad P(R, 1) = P_0, \\ \int_0^{1 - \frac{\text{tg } \alpha}{\delta}} V_Z \left(R + \frac{\eta}{1-\eta} \right) dR = \pi \frac{1+\eta}{1-\eta}. \end{aligned} \quad (32)$$

Таким образом, можно констатировать, что рассматриваемая задача характеризуется набором из шести безразмерных параметров — пять параметров, определяемые выражениями (28), и угол конуса, равный 2α .

Решение задачи (23)—(27), (28)—(32) выполнялось с помощью конечноэлементного пакета программ для различных значений геометрических параметров модели и массовых

расходов. Основные расчеты проводились на сетке $10 \times 50 \times 100$ при 100 итерациях, где 10 и 100 — это число разбиений соответственно вдоль радиуса и по окружностям ортогонального сечения канала, 50 — количество разбиений вдоль образующей цилиндрической и конической поверхностей. Для контроля точности результатов были также произведены расчеты на более мелкой сетке с разбиением по окружностям ортогонального сечения канала от 200 до 900 узлов и с числом итераций от 50 до 200 (рис. 2).

Все расчеты проводились на персональном компьютере Lenovo с процессором Intel® Pentium® Dual-Core T 4400, 2.20 GHz и оперативной памятью 2 Gb. Удалось установить, что увеличение числа разбиений по окружности ортогонального сечения канала от 100 до

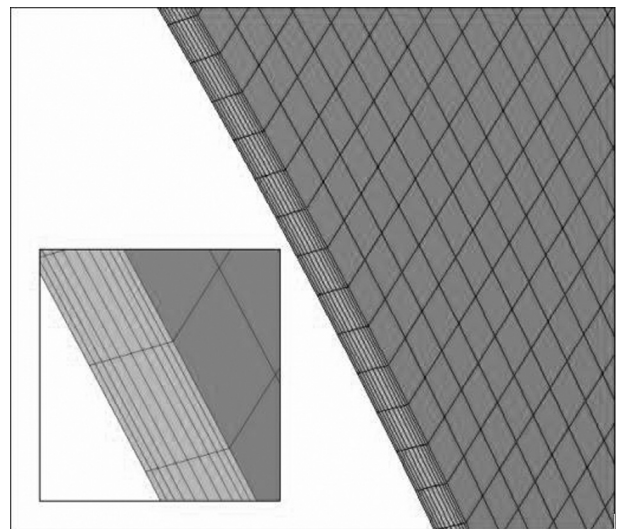


Рис. 2. Вид сетки $10 \times 50 \times 900$

900 приводит к увеличению времени расчета в 3-4 раза, а увеличение количества итераций от 50 до 200 приводит к увеличению времени расчета в 3 раза. При этом различие между полученными значениями перепада давления для 100 и 200 итераций составляет величину порядка 0,01 %. Различие между полученными значениями перепада давления для 100 и 900 разбиений по окружности ортогонального сечения канала не превышает 0,03 %. Поэтому для получения основных результатов достаточно задавать 100 итераций и сеточную область $10 \times 50 \times 100$.

На рис. 3 представлены данные, полученные для определения времени решения задачи в зависимости от способа дискретизации расчетной области.

В ходе проведения компьютерного эксперимента использовались 8 геометрических моделей, для каждой из которых было проведено 6 расчетов при различных значениях величины объемного расхода. При наименьшей величине

заданного расхода для каждой из геометрических моделей получаем конфигурацию цилиндр — цилиндр. С увеличением объемного расхода угол конической поверхности возрастает, при этом входное сечение канала остается неизменным. Таким образом, получаемая конфигурация канала зависит от величины перепада давления. Следует отметить, что с его ростом угол конической поверхности возрастает, но ни в одном из рассмотренных случаев не превышал 1 градуса.

На рис. 4 представлены графики зависимости перепада давления в конфузоре от объемного расхода жидкости для различных геометрических моделей.

На рис. 5 представлены графики зависимости коэффициента гидравлического сопротивления от объемного расхода.

Вопросы гидродинамической устойчивости параллельных течений между цилиндрическими или коническими поверхностями исследуются теоретически и экспериментально доста-

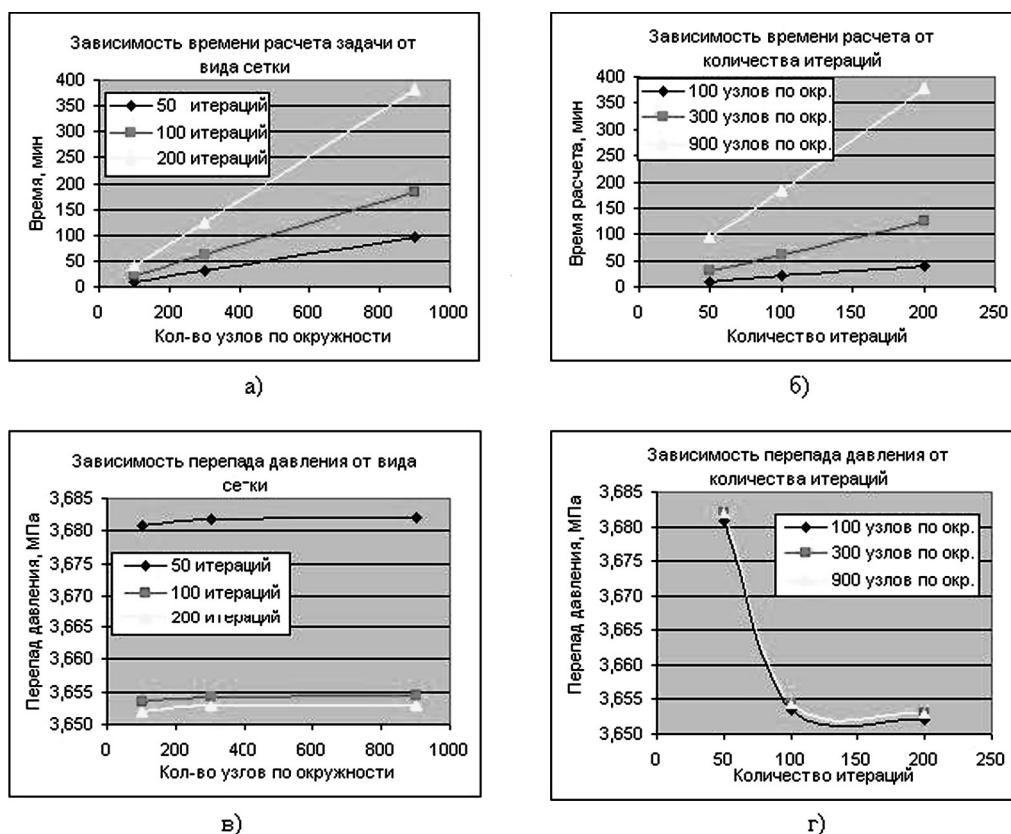


Рис. 3. Зависимость времени решения задачи и величины перепада давления от типа сеточной области и количества итераций: а, б — зависимость времени расчета от числа узлов сетки на окружности ортогонального сечения и количества итераций; в, г — зависимость перепада давления от числа разбиений окружности ортогонального сечения и количества итераций

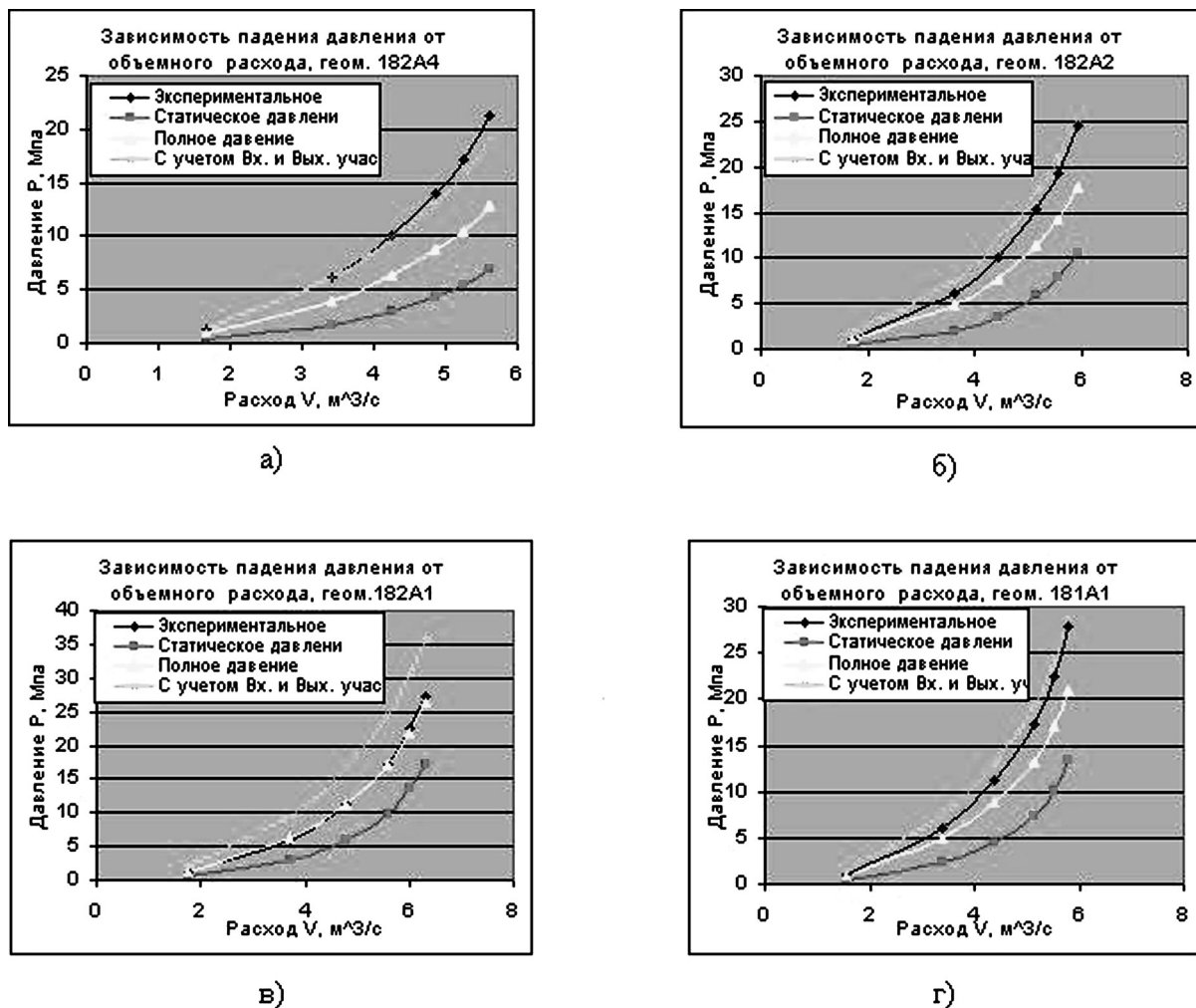


Рис. 4. Зависимости перепада давления от величины объемного расхода жидкости. Зазор между цилиндром и конусом на входе равен: а — 0.215 мм; б — 0.205 мм; в — 0.192 мм; г — 0.198 мм

точно давно, однако до настоящего времени полная картина возникновения неустойчивостей потоков отсутствует [7,8]. В нашей работе все расчеты проводились при числах Рейнольдса, изменявшихся в диапазоне от $1,5 \cdot 10^5$ до $6 \cdot 10^5$, что соответствует развитому турбулентному режиму течения.

На основании анализа результатов расчетов и сопоставления их с имеющимися в нашем распоряжении экспериментальными данными можно сделать вывод о том, что для геометрической модели с наименьшим зазором на входе имеет место наилучшее совпадение с измеренными значениями давления. С увеличением зазора происходит некоторое увеличение расхождений, не превышающее величины порядка 10%. Подобная же закономерность прослеживается и для коэффициента гидравлического сопротивления.

Теоретическое значение коэффициента гидравлического сопротивления, рассчитанного по формуле Золотова для кольцевых труб [13], хорошо совпало с экспериментальными данными для геометрических моделей, имеющих конфигурацию цилиндр-цилиндр. По мере увеличения угла конуса возрастает расхождение между теоретическим и экспериментальными значениями коэффициента гидравлического сопротивления. По всей видимости, данное обстоятельство связано с тем, что с увеличением угла конической поверхности коэффициенты гидравлического сопротивления также изменяются.

Таким образом, с помощью $k-\epsilon$ модели турбулентности были проведены численные исследования и выявлены некоторые закономерности и особенности турбулентного течения в кольцевом конфузоре, образованном

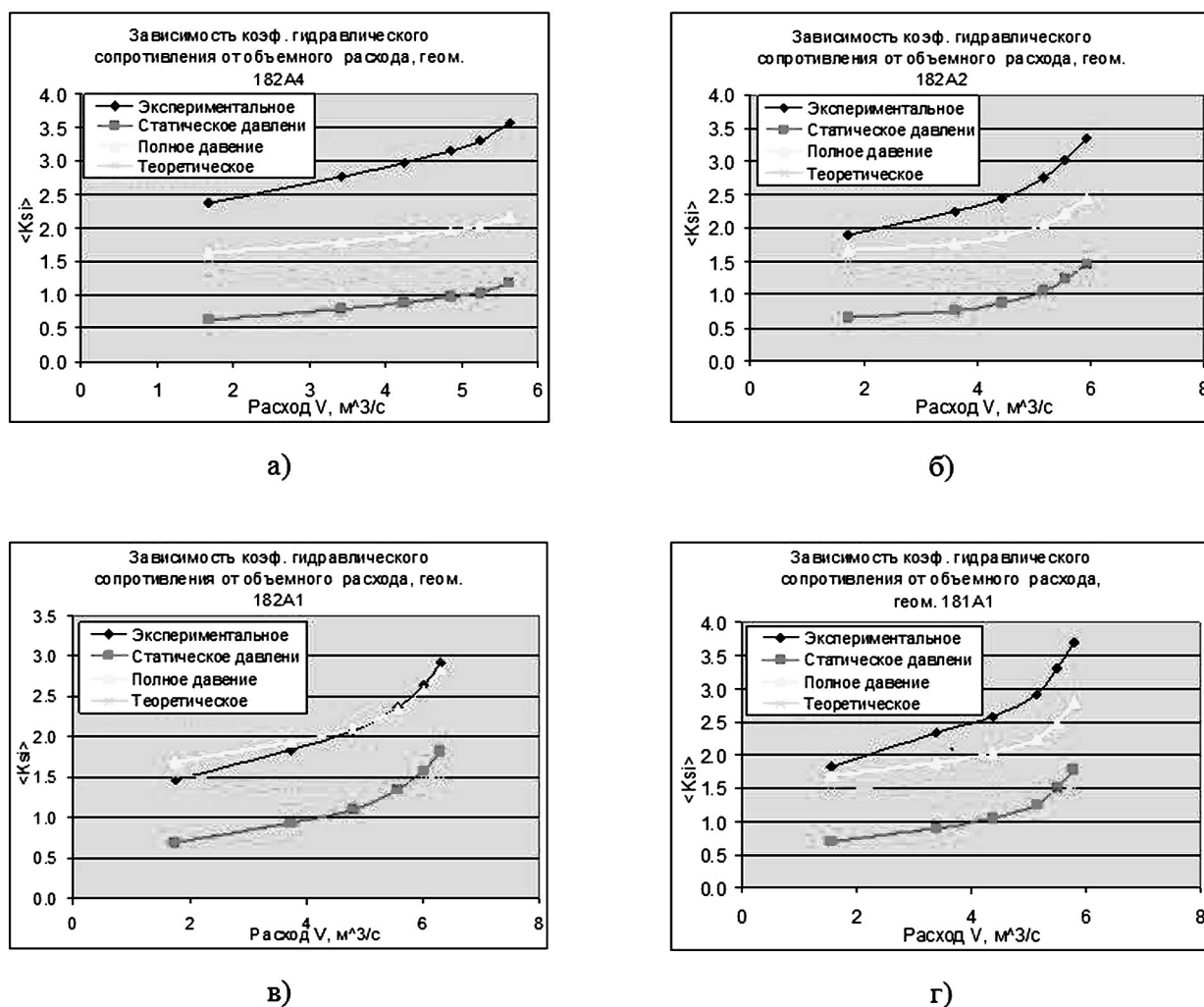


Рис. 5. Зависимость коэффициента гидравлического сопротивления от объемного расхода жидкости. Зазор между цилиндром и конусом на входе равен: а — 0.215 мм; б — 0.205 мм; в — 0.192 мм; г — 0.198 мм

цилиндрической и конической поверхностями. При сопоставлении экспериментальных данных и результатов компьютерного эксперимента обнаружилось некоторое расхождение. По нашему мнению, это связано с двумя обстоятельствами:

- 1) в экспериментах на входе в канал не обеспечивается постоянство скорости потока;
- 2) при обработке экспериментальных данных использовались коэффициенты гидравлического сопротивления, не зависящие от величины угла конической поверхности канала.

В связи с этим, можно отметить, что для более корректного сопоставления теоретических и экспериментальных данных требуется проведение дополнительных проливов и продувок каналов рассмотренных конфигураций с целью установления более достоверных данных о значениях коэффициентов гидравличес-

кого сопротивления в такого рода гидросистемах.

ЛИТЕРАТУРА

1. Иванов А.В., Коробченко В.А., Шостаков А.В. Конструкция и проектирование уплотнений проточной части насосов и турбин ТНА ЖРД. — Воронеж: ВГТУ, 2005. — 86 с.
2. Лойцянский Л.Г. Механика жидкости и газа. — М.: Дрофа, 2003. — 840 с.
3. Белов И.А., Исаев С.А. Моделирование турбулентных течений. — СПб.: БГТУ «Военмех», 2001. — 108 с.
4. Юн А.А. Теория и практика моделирования турбулентных течений. — М.: ЛИБРОКОМ, 2009. — 272 с.
5. Коржов Е.Н. Физико-химическая механика: учебное пособие. — Воронеж: ВГУ, 2009. — 70 с.
6. Ландау Л.Д., Лившиц Е.М. Теоретическая физика: В 10 томах. Т.6. Гидродинамика. — М.: Физматлит, 2001. — 736 с.

7. Джозеф Д.Д. Устойчивость движений жидкости. — М.: Мир, 1981. — 640 с.

8. Heaton C.J. Linear instability of annual Poiseuille flow // J. Fluid Mech. — 2008. — V. 610. — № 2. — P. 391—406.

9. Boysan H.F., Choundhury D., Engelman M.S. Commercial CFD in the service of industry: the first 25 years. // Notes on numerical fluid mechanics. — Berlin, Heidelberg: Springer Verlag, 2009. — P. 451—461.

10. Bird R.B. Stewart W.E. Lightfoot E.N. Transport Phenomena. 2nd ed. — New York e.a.: Wiley & Sons, Inc., 2002. — 912 p. (русский перевод издания 1960 г.: Берд Р. Явления переноса / Р. Берд,

В. Стьюарт, Е. Лайтфут. — М.: Химия, 1974. — 688 с.).

11. Braga E.J., de Lemos M.J.S. Numerical simulation of turbulent flow in small-angle diffusers and contractions using a new wall treatment and a linear high Reynolds $k-\epsilon$ model Numerical Heat Transfer Part A. — 2004. — № 45(9). — P. 911—933.

12. Mohammadi B., Pironneau O. Analysis of the k -epsilon turbulence model. — New York: Wiley, 1994. — 219 p.

13. Идельчик И.Е. Справочник по гидравлическим сопротивлениям / Под ред. М.О. Штейнберга. 3-е изд., перераб. и доп. — М.: Машиностроение, 1992. — 672 с.

Ерофеев Илья Владимирович, аспирант факультета ПММ Воронежского государственного университета

Тел.: 8 904 210 00 67

E-mail: iluu1@yandex.ru

Yerofeev Ilya Vladimirovich, post graduate student of faculty of applied mathematics, information technologies and mechanics, Voronezh State University

Tel. 8 904 210 00 67

E-mail: iluu1@yandex.ru

Коржов Евгений Николаевич, доцент факультета ПММ Воронежского государственного университета

Тел.: (4732) 20-87-63,

E-mail: ken@amm.vsu.ru

Korzhov Evgeniy Nikolaevich, associate professor of faculty of applied mathematics, information technologies and mechanics, Voronezh State University

Tel.: (4732) 20-87-63

E-mail: ken@amm.vsu.ru

Шашкин Александр Иванович, декан факультета ПММ Воронежского государственного университета

Тел.: (4732) 20-82-66

E-mail: deanery@amm.vsu.ru

Shashkin Aleksandr Ivanovich, dean of faculty of applied mathematics, information technologies and mechanics, Voronezh State University

Tel.: (4732) 20-82-66

E-mail: deanery@amm.vsu.ru

Иванов Андрей Владимирович, ведущий конструктор ФГУП КБ Химавтоматики

Тел.: (4732) 34-65-17

E-mail: cadb@comch.ru

Ivanov Andrey Vladimirovich, project engineer FSUE KB Khimavtomatikiy

Tel.: (4732) 34-65-17

E-mail: cadb@comch.ru

Добросоцкая Мария Владимировна, магистр факультета ПММ Воронежского государственного университета

Тел.: 8-919-231-31-92

E-mail: dobrosotskaya_masha@mail.ru

Dobrosotskaya Mariya Vladimirovna, magister of faculty of applied mathematics, information technologies and mechanics, Voronezh State University

Tel.: 8-919-231-31-92

E-mail: dobrosotskaya_masha@mail.ru